

中国科学院
地理研究所資料室

登記日期

編號

塔里木河治理沙害开发利用反流沙控制科学考察报告

第一集

新疆沙漠治理综合防治的
初步试验研究经验



1960.9

中国科学院治沙队沙漠治沙综合研究所

前 言

新疆南部的塔里木盆地除了边缘为戈壁及一些另星而不相连的绿洲外，盆地中心绝大部分为流动性沙漠。我国最大的塔克拉玛干沙漠便位于本盆地内，占了全国沙漠面积的 $1/3$ 强。而这些流沙不断的威胁着沙漠边缘的农垦城及公路，同时绿洲中的一些另星沙丘也严重地影响着耕地、居民点和道路，因此防风固沙，保证农牧业生产、交通、居民点的安全，乃是开发和改造沙漠中一个重大的任务。另一方面在塔里木大盆地边缘带中一个较大的河流地带，广泛分布着洪积带，而且这一地区正是目前希望大力发展新农业基地的地区，因此，如何固定和利用风沙土，也是流域区开发利用一个重大问题。明确了南疆塔里木盆地西部这些基本的自然特点和地方生产的要求，我们今年的定位试验研究工作便是以上两大任务为中心。此外，根据地方的需要，昆仑山脚下军区生产建设兵团第一师进行了塔里木河南岸塔里木地区的沙漠开发利用方案的研究和配合沙漠改造成工进行了卡拉壳及红海沟的风沙治沙示范规划，因此今年的研究计划包括了这三个大部分：

第一部分 塔里木盆地西部流沙的固定

第二部分 该地区昆仑山北麓山前地带风沙的综合改良利用

第三部分 塔里木地区沙地综合开发利用

由于本试验今年开始，定位试验研究只有数个月的时间，因此很多方面是不够成熟的，这需要在今后工作中不断补充提高，希望大家能给予指正。

第一章 自然条件的本特征

布古里沙漠东南部地区，乃是新疆莎车县西北部阿瓦提、卡拉克及铁辛一带沙漠边缘地区而言。

本地区是南疆重要的农业地区之一，人口集中，开发历史悠久，所以自古以来这里就一直是南疆的主要经济中心之一。且沿内塔什河谷和西天山大路所必经的地方。但是，千百年来，因本区位于布古里沙漠东南，经常遭受风沙的侵袭，有很多耕地、居民点和道路都已埋没于流动的沙海之中。本区之所以风沙如此危害严重，这正与居园所处的自然环境是分不开的。

本区远离海洋，处于亚洲中部最干燥的荒漠地带内。根据莎车气象站多年观测资料，年降水量只有 54.7 毫米，但年变率是很大的，如 1954 年年降水量为 64.0 毫米，而 1953 年只有 13.3 毫米，年变率是很大的，一般说都相当于年水量的 3.5~4.0 倍。在 1900~2300 毫米之间，空气中相对湿度平均为 4.0~6.0%，在另一方面蒸散量却是很充分的。 $>10^{\circ}\text{C}$ 的年积温为 3689℃，而气温是在 $>10^{\circ}\text{C}$ 的日数可以达 210 天。全年气温变化情况：一月平均气温为 -6.5°C ，七月平均气温为 24.5°C ，气温对值还要更大一些；七月的绝对最高温可以达到 39.9°C ，而一月的绝对最低气温又可以达到 -20.9°C ，而在沙漠中午温差可能会更大一些。我们 1960 年 4~6 月间观测与莎车对比便可以看出其差异（表 1）。

表 1

位置 地 点	四 月	五 月	六 月
绿洲中 莎 丽	14.5℃	19.9℃	22.4℃
沙漠中 阿瓦提	21.0℃	13.1℃	26.3℃

从上述的分析中可以清楚地明本区是属极干旱带，气温年较差是大的，而且温差大。所以在自然界中相互联系着的各个要素，也就必然具有与其相

地区不同的独特特点。广泛的沙地地貌的发育，盐分大量在表层聚集，以及主要由旱生和盐生植物所构成的单层结构的群落等就成为本区在自然景观中的几个明显特点。

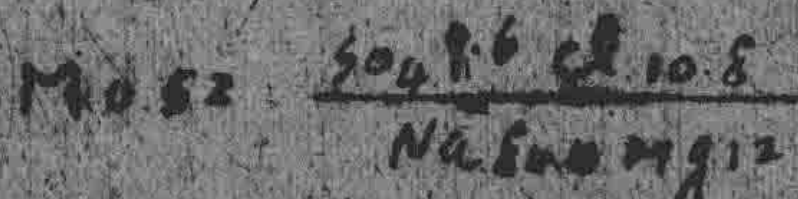
本区地处西崑崙山的北麓，整个地势自西南向东北倾斜至叶尔羌河谷地带。第四纪以来，西崑崙山的各岩石的风化物经过叶尔羌河及在山麓发源的一些小河的冲积，逐渐堆积在山前地带。而如此丰富的冲积～冲积物，正是本区沙地地貌形成广泛发育的基础。根据成因类型的原則，自山麓到沙漠可以划分为三个清楚的地貌单元：山前冲积带，洪积～冲积的盐土平原及风力吹扬下具有密集沙丘的冲积平原。因风是形成本区广泛发育沙地地貌的主要因素之一，全年之中风季主要在春夏之交（4～6月）大部为偏西北方的风。根据1960年4～6月观测， WNW 及 NW 方向的风占总风向的34.9%，此外偏东南方向的风亦占有一定比例。平均最大风速可以达到1.0～1.2米/秒，由于沙子的颗粒内聚、粗疏等理特性，所以风速达4米/秒时即可起沙，形成风沙流或风沙的搬运。沙丘一般是由风的吹动，根据1960年4～8月观测，沙丘移动都前进 ~ 5 m，主要形成为新月形沙丘链及单个的新月形沙丘，高度一般为 ~ 6 m。在沙漠边缘地下水条件好的地方，还分布有白垩和白垩质的冲积沙丘。此外在山麓的冲积及洪积～冲积的盐土平原上也分布一些星星的沙丘。

水不仅将山地的风化物冲刷搬运下来进行堆积，而与此同时也将地表中的盐分通过淋溶而又重新聚集起来。本区盐类的地球化学分异过程也如前所述其它山麓带区一样表现了清楚的规律性，这与所处的水文地质环境是分不开的。从山麓到沙漠地下水随深度增加盐度，矿化度也越来越大。在洪积带土层上皆为深厚的冲积物所形成，因此来自崑崙山的雪及山前的泉水出山以后即向下渗。地下水埋藏很深，可达数十米。水质很好，为 $SO_4^{2-} \sim Cl^-$ $\sim Ca^{2+} \sim Na^{+} \sim Mg^{2+}$ 型水，如山前泉水的康尔洛水：

M4.2 505.0m
Ca \sim Mg \sim Mg \sim Cl

~ 3 ~

所以盐碱土主要是进行淋溶过程，因而形成具有石漠层。以北因位于一较高河间地，所以在洪积扇中下部第三纪地层中盐盐才保持下来。然而土壤应属于砾质的石膏棕色荒漠土及砾质的具有盐盐的棕色荒漠土。土层在洪积扇边缘地段因处子地形的变化点，所以地下水普遍都近地表。一般已深只有1~2m，地下水的化学分异过程也处于较后阶段，为 $S_{O_4}^{2-}$ C_0^{2-} HCO_3^- Cl^- 型水，其氯化度都在1.0克/公升以上。在强烈的蒸发作用之下，地下水也就以蒸发的方式进行排盐，同时盐分也沿毛细管上升而被带出，形成了易绿的盐土地带，在0~30公分的剖面中含盐量都>1.0%。这些成条件及盐渍化程度的不同，可分为属微盐的盐土、崩盐与盐土、天生盐土及弱度盐化草甸土等七种。在叶尔羌河西岸地区，因地下水补给条件较好，埋藏较浅，因而有大块盐漠土分布。在此地段上，由于劳动人民长期的引灌，也是耕地分布的地区。由于地下水水质不良，所以灌溉均系引自叶尔羌河。从其水化学的摩尔洛夫式可以看出是否合饮用、灌溉以及牲畜用水的需求。



土壤因为经过耕作为盐化耕作土；而在山麓

地区地下水埋藏愈向内愈深，一般都在1.0m以下。地下水的流向是自西南向东北，水力坡度在4~4%。地势平坦，主要进行聚盐作用，丘陵土层0~1m的剖面中平均含盐量都>1%。在沙漠边缘因水分条件稍好些，主要是分布于轻度盐化草甸土及白河盐化沙土。而在沙漠内部丘间地以有无地下水的冲积沙丘及盐化角砾土等。

划分为盐土化龟裂盐土或流动沙丘为现代的风积作用形成，且沉积环境十分不稳定，因此土壤的成土作用极其微弱，也就决定了盐沙化性质的特点。土壤的一个流动沙丘的剖面化学分析中可以看出生物作用十分微弱，无有机质的积累；淋溶作用也很弱，整个剖面中各层盐分的分布是以风积的颗粒为准。石膏及碳酸钙在剖面中的分布很普遍，因此pH值变化是在7.0~8.5之间；阴离子以 SO_4^{2-} Cl^- 为主，阳离子以 Ca^{2+} 为主，而沙土的物理性本区沙子的组成主要以细沙及粗沙为主，毛细管上升高度为5.9~6.0m，容重1.4。

在沙丘內普遍存在着呈浸水狀況的濕沙層，其分布的深度一般在 60 ~ 120 cm，而沙層厚度在沙丘的各個部位是不同的。在迎風坡下部較厚，愈向上部愈薄。濕沙層的水分狀況與降水的變化是有密切關係。在降雨以前，沙層深 80 ~ 140 cm，含水率在 1.67 ~ 3.02%，再下的稍潤的干沙層含水率為 1.4 ~ 1.8%，而降雨以後含水率增加很多。100 cm 深的含水率為 6 ~ 18%，40 cm 以上為 7 ~ 25 ~ 7 ~ 6%。而在下次降雨之前經過強烈蒸發，含水率又逐漸降低。而白刺僅從沙丘，因地表有植物的保護及地下水的補給使沙層的含水率比較穩定，在 1 m 以上大於 2 ~ 5%，而以下大於 3 ~ 4 ~ 5%。此外，在生長芦葦的沙丘中的水分狀況，因在無雨時芦葦的蒸騰作用較強，所以濕沙層最薄（厚度僅有 60 ~ 70 cm）。

受地貌、地下水和土壤等因素所制約的，而在地表作為鮮明標誌的植被，在本區也是極清楚表現其規律性。與新疆其它地區一樣，也反映出植物種屬少，植物群落組成簡單，分布稀疏，並且主要以旱生和鹽生植物為主等特點。天然優勢植物只有 30 種左右（分屬於 8 科 22 屬）。如果加上綠洲當中的植物，也只有 100 種左右。在洪積扇上主要為灌木和半灌木所分布，如沙拐枣 (*Cotyledon bengalensis*)，伴生有泡泡刺 (*Nitraria sphaerocarpa*)、盐生草 (*Haloxylon glaucocephalum*) 等。而在洪積扇邊緣鹽土平原，因水分條件好，植被復蓋度較大，主要為肉質小半灌木為主，如盐爪爪 (*Kalanchoe daigremontiana*)、盐柳木 (*Haloxylon salicornicum*)、盐芥草 (*Halopeplis glauca*)、芦葦 (*Polygonum communis*)。此外還常伴生有胖姑娘 (*Mesembryanthemum crystallinum*)、甘草 (*Glycyrrhiza uralensis*)、蘇枸杞 (*Artemesia gmelini*) 等等；而沙漠地區因水分條件愈向內愈惡化，所以植物分布也愈向內愈稀，甚至地表完全光裸，無植被。在沙漠邊緣主要為白刺 (*Morus alba* sp.)、泡泡刺、芦葦 (*Polygonum sp.*)，此外還有分枝麻薺 (*Salsola komarovii*), 路駒刺 (*Akleya sp.*)、胖姑奶奶 (*Mesembryanthemum crystallinum* sp.)、旋花 (*Ipomoea carnea*) 等等植物。在

沙漠內的洪水河床兩岸有楊柳 (*Tamarix* spp.) 分布，而在某些沙丘上只
點生一些蕒毛菜 (*Salsola* spp.) 等植物以外，則是一片光裸，寸草不
生。所有林木皆為人工栽種，分布在綠洲中主要有沙枣、銀白楊、梨、桃、杏
等。

从以上自然特点的概括分析中，可以看出本区沙地地貌十分发育，沙丘多
數裸露，所以沙丘活动性也較強，並且直逼東南方向綠洲，因此对生产生
业，特别是农业生产以及人民的生活都造成了很大危害。如卡拉克公社的五管
理区共有 1100 亩地，每年都要因为风沙危害使 100 余亩地沙化，40 余
亩地根本没有收成。1960 年春季一次大风使 40 余亩地玉米苗全部被沙埋
掉，在沙丘前方 100 多米以内的田間都积沙 20~40 厘米不等。此外，如
五管理区的一条渠道也因积沙阻塞而被迫放棄。根据不完全的統計，在五管理
区内一二大队之間的一带沙丘，在将近 70 年时间，共埋掉 379 亩耕地，
33 戶人家，而目前还有 10 余户正受威胁中。此外，在沙漠边缘的阿瓦提，
烏加庫姆，後庫七都也存在风沙掩埋农田、渠道和居民点。风沙对经济的危害
也是严重的，如路和公路卡拉克至莎車段北侧的沙丘，1953 年在沙丘的西
方曾垒起一道 2 米高的拦沙土墙，如今已被沙丘所推平，並且超过了拦沙墙，
横臥到公路上。总之可以举出許多实例來說明风沙在本区十分肆虐的威脅着农
田、公路和居民点，給国民经济带来极大的损害。因此与风沙战斗，並战胜风
沙的威胁，确保农业大丰收，对本区乃是一个十分重要的問題。

参加报告编写工作人员：

北京师范大学地理系 徐振溥

中国科学院植物研究所植物生态学及地植物学研究室 地植物学

中国科学院土壤及水土保持研究所 陈叶荣

地质部水文地质工程测量局第二大队 赵惠堂

中国科学院治沙队 霍培泉 翁吉烏力吉

第二章 流沙形成的动力过程及物理固沙

第一节 近地表层气流的一般特征

由于近地表层气流具有乱流的特征，而乱流运动又引起近地表层的空气的动量交换、热量水分以及尘土的交换。所有这些交换的结果都直接影响到人类活动和生物的生存；特别是在沙漠地区，这些交换都是直接影响到流沙的形成及其移动的过程。因此，对近地表层气流的研究是具有很大的现实意义。

一、自然界的大气运动。在对流层中部，运动是直接随风行宏观的气压梯度和地球自转偏向效应，此种运动称之为地转平衡运动（很类似于片流运动）。此种运动的下限，在平原地区一般为500m左右，在高山区，地形复杂的地区将有显著的升高。同时它也随着大气的粘滞层（不稳定性）增大而增加。例如白天大于夜晚，夏季大于冬季。

在地转和风不平行运动之下，大气流就是风底层。风底层气流运动主要是受地表的摩擦系数（即粘滞度，或者是空气的密度）所限制。以上两种作用的结合，就导致贴地层中气流之强烈的乱流交换。这种乱流运动，一般有三种表现形式：即水平纵向、水平横向和垂直的乱流运动。这些乱流的影响都直接受到风的障碍变化。因此，由于乱流交换使得近地表层的风的特性变得非常复杂。不过就其平均情况看，近地表层气流仍有自己的规律性。根据前人研究成果，结合今年4～7月份在沙漠地区观测的结果，分别从下垫面粗糙度，地形的起伏以及大气稳定度，对气流的影响来阐明近地表层气流特征，以便更进一步探讨这些特征与气流形成的关系。

二、近地表层风速随高度的分布：

近地表层风速随高度分布的普遍规律为指数定律，可用下式表示：

$$U = U_1 \cdot \frac{Z^{\kappa}}{Z^{\kappa} - Z_1^{\kappa}}$$

式中： Z 为任意高度上的高度。 Z_1 为高处的高度。 κ 为粗糙度

(以厘米表示)。 τ 为决定于大气稳定度的指数。 ϵ 值一般由强对流时 $\tau = 1$ 变到很深逆温时的 $\tau = 10$

当 $\epsilon = 0$ 是相当于中性平衡的层结，风速随高度分布规律，就变成简单对数定律，即：

$$U = U_1 \frac{\ln z - \ln z_1}{\ln z_1 - \ln z_0}$$

根据流沙地区风的梯度观测资料看来，风随高度分布也是符合上述规律(1)。从 $V - \log z$ 图上可以清楚的看到，只有在温度梯度很小(或等于零)风速随高度分布才能是直线分布(图中的线 1 所示)，但在其它条件下风速就不再是直线，而是曲线。如在逆热梯度条件下曲线 3 凸向 V 轴，这是由于近地表层热力不稳定性对风速随高度分布的影响。即风速愈近地表风速愈大，愈向上 $1 \sim 2$ m 风速梯度就显著变小。反之在逆温情况下，曲线 2 则凸向 V 轴，这是由于乱流运动受到抑制；即愈近地表风速梯度愈小，愈向上从 $1 \sim 2$ m 开始风速显著增大。因此风速随高度变化的对数定律只有当气流成为均匀时才是正确的。

另外，还可以从一些直观察象来说明大气温度层结稳定度对气流的影响。如：沙漠中强烈的风沙流发生的条件，总是在非常晴朗的日子里，由于沙漠烈增热，在贴近地表的几十厘米高度内形成几乎至几万度 / 100m 的温度热梯度，同时气压也剧烈下降。在这样的条件下，而产生的狂风对地表风流交换之后，引起大量沙粒悬浮物质的迅速移动。进而形成速度非常之大的风流(关于风沙流在第二节中将详细讨论)。从沙漠中的有些物可以被带离地面上去，形成风沙满天，对面不见人的景象。与此同时还可以看到，当风稳时，还能够在垂直方向上形成旺盛的热对流～～尘捲风。一般可以上升到 1 米至几十米，最强者可以上升到几千米的高度上。不过从其强度或是其速度看来，后者远大于前者。至于在一般的情况下，温度梯度很小时，温度层对数分布的情况下，更多引起地面起沙，根本不会形成风沙流。因此改变近地面层的乱流交换的状况，是防止和控制风沙流，或者是控制风沙流最有效措施。

三、风的日变化

风的日变化是近地表层气流特征之一。

1. 风速日变化：最大风速出现在白天，最小风速出现在夜间（图2）。这种变化规律是与乱流交换变化是一致的（图3）。同时风的日变化，也随着高度增加而引起振幅的减小和相时的落后，大约到一千米高度则出现相反情况：即风速最大出现在夜间，最小的则于白天。当然，这里必须指出，以上情况只在天气支配期不强的情况下才能出现。如若有气团的移交或地面辐射以及受局地环流影响时，都会引起风的正常日变化。有时还可以使个别日子里的风速最高、最低出现时间有显著的移动（即可从图2中看出）。不过这些因子引起风速的极变化，通过平均之后，即可消除。

2. 风向日变：风向的日变化一般白天为顺轉，而夜间则为逆轉。这种变化规律性，常常容易被局地影响而破坏，特别是在夜间（图2）。

四、下垫面对气流的影响

不同下垫面对气流的影响有两方面：一是由于地表粗糙不均匀，引起强烈的摩擦，消耗动量而产生滞度及湍流，减低其速度的动力作用。另一是因下垫面受热不均，形成起始于地面（或是近地面层），产生旺盛的热对流。至于后一种作用在第二部分将更明。这里不再赘述。下面首先谈粗糙度的影响：粗糙度 Z_0 就是风速等于零的高度。

下垫面的粗糙度在一定的程度上可以定量地反映下垫面对气流的影响程度。为了方便起见，可分为以下三个方面来阐述：

1. 沙漠地区各种自然表面的粗糙度 Z_0 如下表*

表3

下垫面类型	粗糙度 Z_0 (cm)
裸露的沙面：沙丘顶部	1·075
裸露的沙面：沙丘坡脚	1·110
开阔的丘间平地（地面坚实）	1·200
开阔的丘间平地（地面疏松）	2·500
草灌沙丘顶部（枯死的白刺高约40cm）	3·630

2.2. 地面粗糙度的作用：

由上表可見，下地面粗糙度 Z_0 值不仅决定地表层流动的粗度情況，而且决定植被的高度以及地形起伏，此外还决定于风速。至于植被对风的抑制作用，主要是增加粗糙度。首先减弱风速，进而减弱湍流交换作用。这里必須指出，粗糙度的摩擦作用本身所影响的高度是很小的。一般从几厘米到几十厘米的一层，一般除了地面摩擦以外，还有相对运动气流間仍有内摩擦称之为粘滯性。也正因为有内摩擦，外表的摩擦阻碍作用才能逐层向上传递。

这里所指内摩擦包括两方面：一是分子粘滯性，一是乱流粘滯性（即由流单体或乱流元量之間的内摩擦）。在实际計算中，前者远小于后者。所以分子粘滯性可以略而不計，因此近地面层中，乱流粘滯性成为影响风速和高度分布的主导因子。因为在贴地层中，乱流交换系数是高度的线性函数。从地面以上某一高度 h 开始 K 值为一常数，即不随高度而变（图4）。此处高度 h 值的大小取决于大气的稳定性；当大气不稳定增大时 h 值随之增大，反之 h 值则减小。关于这个规律性是和前面所提到的风速随高度分布与沙測資料是一致的。

正是如此，因而在沙丘表面設置各种风速计沙槽风·沙速计和接风筒。

*上一表是根据粗糙度公式 $\log Z_0 = \frac{u_1 \log z_1 - u_2 \log z_2}{u_2 - u_1}$ 利用沙漠地区的梯度覈測資料計算而得出的。式中： Z_0 粗糙度（以厘米表示）在实际計算中 $Z_0 = 500\text{m}$ ， $z_1 = 200\text{cm}$ ， u_1 和 u_2 分别为 z_1 和 z_2 高度的风速。其中个别 Z_0 值是用 $z_1 = 20\text{cm}$ ， $z_2 = 50\text{cm}$ 两高度风速計算求得。

这里必須說明一点，即所使用的梯度覈測資料精度是不夠要求的，原因是风速度测量不好所引起的。另外，計算时也未严格挑选比較規則的資料。因为以上公式在中性平衡条件下使用效果最好，因此 值有待进一步計算分析。最后还有一点事实，即在此沙漠地区，丘陵风向地形凹凸起伏很复杂，在相当程度上影响到风速分布。

率已达5%，平均增加3~5倍，最大增加20倍。充分说明风对风速以及乱流强度起了减弱作用(图5)。该报告计算结果有如表4所列(关于机械固沙对改变流动地形发展的问题，在第五节中将要详细分析)。

表4

对风速的减弱作用

高 度	0.1 m	0.5 m	2 m
1000 m	37%		2%
500 m	73%		4%
200 m	58%		12%

注：此值为百分数，即2 m以下任意高度风速对2 m高的风速之比值。

参加报告编写工作人员：中国科学院治沙队综合组

第二节 风沙流的结构及性质

在了解了近地面层气流一般特征的基础上，在本节内着重讨论它如何作用于沙质地表形成沙漠地区对流沙地貌形成有关的基本动力因素——风沙流的结构和特性。什么是风沙流呢？当风力吹过较松的沙质地表时，由于气流运动上升力的作用，地表沙流乃被带入气流中而随之前进，这种含有沙粒的气流称之为风沙流。它乃是沙地地形的形成和流沙发展的主要条件。正确的揭示风沙流的特征和规律对于合理制订风沙防治和控制流沙具有很大的现实意义。根据在 1960 年夏季（4~6 月）所进行一系列风沙流试验的结果，其特征又如下所述。

沙子在气流中的运动是随风速及其本身粒径的大小而转移。沙的颗粒越小，微弱的风就可使其移动，相对湿度以大的颗粒，需要较大的风速才能使它们进入气流中，随之前进而形成风沙流。而在布古里沙漠的东南风，沙子一直直径为 $0 \cdot 25 \sim 0 \cdot 1$ 毫米，其百分比含量自 44% 至 8% 不等；小于 $0 \cdot 1$ 毫米直径的沙子含量也大，自 4% 至 49% 不等。因此这样粒度较小的沙子，在当 4 米/秒（ 2 米高）时， $0 \cdot 1 \sim 0 \cdot 25$ 毫米直径的沙子便可以随风而移。但 $0 \cdot 5$ 毫米的沙子却需要 $6 \sim 7$ 米/秒的风速才能发生此移（表 5），因此它们之间的关系有如下面图表所示（图 5），而造成这种限因乃是由于这些颗粒的沙子重量过大需要较大作用力之故。

表 5

沙的粒径 毫米	起动风速值 米/秒
$0 \cdot 2 \sim 0 \cdot 25$	$2 \sim 3$
$0 \cdot 25 \sim 0 \cdot 5$	$5 \sim 6$
$0 \cdot 5 \sim 1 \cdot 0$	$6 \sim 8$
$1 \cdot 0 \sim 2 \cdot 0$	$8 \sim 10$

这种特征也就决定了在布古里沙漠风沙流出现的条件是在 4 米/秒（ 2 米高处），但是风沙流的厚度是具有差异性的。它在高处或各个不同的高度内并不是相同的，这是因为靠近地面部分的气流受到地面粗糙度的阻碍而阻力的关系，风速受到减弱，而较高处的流速则因为空气阻力减弱，但实际上

而次是內塵場的空氣流速力並不大，因而风沙流速度具有随高度增高而增加的規律，兩者之間成正比关系，表6的数据可以說明这种特点。另一方面从图7曲线上又可看出，在不同的地點部位上其速度是又所不同，沙丘顶部是大于坡頂及坡底。

表6

觀測部位	离地面高度(米)	风沙流速度(米/秒)
丘陵平地	2.0	8.7
	1.0	6.5
	0.2	6.6
迎风坡頂	2.0	6.7
	1.0	6.2
	0.2	6.8
迎风坡底	2.0	8.7
	1.0	7.9
	0.2	6.6
沙丘背部	2.0	9.1
	1.0	8.8
	0.2	7.9

从上述数据中是可知风沙流速度是随高度而增大，但各个高度速度之差却相反，也就是說风沙流速度梯度是随着高度增加而减小，它們之間成反比关系。以上选择月形沙丘背部为例，在离地面0~2.00米高度内，其梯度为7.4，但在离地0.2~1.0米高度内，梯度显著地减少到1.6，而在1~2米高度内，其梯度更小仅为0.3。正是由于这种风速递减的梯度，也影响到上升力的大小，从而导致着不同高度内含沙量分布的特点。

为了进一步說明各个不同高度内风沙流速度的特征，进行了风沙流速度数据的测定，这个数据乃是根据2米以下不同高度与2米高度处风速梯度来求得。根据这些数据可以测出山表面不同高度内风沙流的速度，分析这些曲线可以看出，它在离沙丘基面同一高度下，在沙丘各部位上是不相等的，而是自迎风坡頂逐渐向頂部增大（表7），其梯度

也向顶部集中，与沙丘表面形态曲线相似。从图3—9 草滩从沙丘和裸露沙丘表面风沙流速度系数曲线上可以明显看出这种特征（由东沙包0.2米风沙流速度系数曲线中间微凹现象，是受沙丘表面有植被与无植被地段影响），而不与沙丘表面成水平，正是由于风沙流各种作用的结果，形成沙丘近地表层气流中含沙量由迎风坡面向顶部增多的特征（表8）。

表8

观察点	地貌部位	2 m		1 m		0.2 m	
		风沙流速 厘米/秒	速度 系数	风沙流速 厘米/秒	速度 系数	风沙流速 厘米/秒	速度 系数
1	迎风坡顶	6.9	1	6.2	0.89	6.8	0.63
2	迎风坡腰	8.7	1	7.9	0.90	6.8	0.79
3	迎风坡背	9.1	1	8.3	0.96	7.5	0.81

表8

地貌部位	风速 米/秒	0—10 cm 高度内 100 cm ³ 体积气流中沙量综合 (克/分.)	
		迎风坡顶	迎风坡腰
迎风坡顶	11.2	2.2	2.3
迎风坡腰	11.2	1.6	1.6

沙丘表面上含沙量的分布不仅有着上述变化的特征，同时也随着风速而变化，这是因为风速的增加，如像前面所分析过的各个高程间气流速度系数也随之增大，从而增大了上升力，因此更多的沙粒受上升气流带入气流中。下面便是在两种不同风速下各个高程间风沙流速度系数的比较（表9）。

表9

高程	风速 高度风速 (米/秒)	
	5.9	8.7
0~20	0.7	0.6
20~100	0.9	1.1
100~200	0.3	0.4
~1400		

正比如此，因此气流中含沙量是随着风速增加而增多，也就是说它們之間成一正比例（表10）（图10）。

表10

风速 m/秒	某地表0~100m高度内10cm ³	
	体积气流中含沙量的总合克/分	风速 m/秒
5.5	1.04	5.5
6.5	1.20	6.5
7.3	2.40	7.3
8.1~8	2.6~4.0	8.1~8
12.6	20.61	12.6
25.0	23.90	25.0

高度也是一个重要的因素影响着气流中的含沙量，表11便是提供了这种特征，而在近地面部分中含沙量又大部分（40~60%）集中在0~20m的高度内。此块出含沙量与高程之间是成反比关系（表12）（图6）。但是高度对于含沙量分布多变的特征往往是以风速作为行狀条件。

表11

高度 m	含沙量克/分	风速 m/秒
5	0.377	7.0
10	0.096	7.0
25	0.0013	7.5

表12

离地面高程 (0m)	各个高程内气流中含沙量%		
	风速 m/秒	7.0	10.3
1	23.3	30.30	14.22
2	14.9	21.04	21.12
3	11.9	15.60	10.85
4	12.4	11.15	6.74
5	10.5	7.24	5.87
6	8.8	5.58	3.13
7	5.9	3.41	2.25
8	4.5	2.35	2.09
9	3.5	1.76	1.48
10	2.6	1.28	1.36